磁束フローから見た鉄系超伝導体の超伝導ギャップ構造



Superconducting-gap structure of iron-based superconductors investigated by flux flow

O(DC) 岡田 達典、今井 良宗、前田 京剛 (東大院総合)

°(DC) Tatsunori Okada, Yoshinori Imai, Atsutaka Maeda (Dept. of Basic Science, Univ. of Tokyo)
E-mail: okada@maeda1.c.u-tokyo.ac.jp

我々はこれまで、有限磁場下でのマイクロ波複素電気 伝導度測定を通じて、低エネルギー準粒子励起に敏感な 超流体密度(磁場侵入長)の温度依存性 $n_s(T) \propto 1/\lambda^2(T)$ およ び磁東フロー抵抗率の磁場依存性 $\rho_f(B) = \alpha \times \rho_n B/B_{c2}$ を幾 つかの鉄系超伝導体に対して体系的に調べてきた[1]. $n_s(T)$ から示唆される超伝導ギャップ構造と照らし合わせ た結果,比較的純良な物質においては磁東フロー抵抗率 の初期勾配 α は 1 よりも大きく,「ギャップ異方性が大き い程 α が大きくなる」という定性的な傾向が見られた(図 1). 同様の傾向は単バンド超伝導体にも見られ,この場 合には Kopnin らの理論[2]で定量的にも説明できる.

今回我々は,鉄系多バンド超伝導体に見られた「ギャップ異方性 \leftrightarrow α 」の関係をより定量的に評価すべく,Fermi 面およびギャップの構造を考慮した2バンドモデルでのフィッティングを試みた.例として図2にPドープ Bal22 のフィット結果を示したが,非常に異方的なギャップ構造によって $n_s(T)$ および $\rho_f(B)$ を再現でき,見積もったギャップ異方性は角度分解光電子分光などの結果とも整合する[3].

当日は、他の物質の結果も紹介し、磁束フロー抵抗率 という観点から鉄系超伝導体のギャップ構造について議 論したい.

[1] T. Okada et al., PRB <u>86</u> (2012) 064516., Physica C <u>484</u>
(2013) 27., <u>494</u> (2013) 109., <u>504</u> (2014) 24., PRB <u>91</u> (2015)
054510., H. Takahashi, T. Okada et al., PRB <u>86</u> (2012) 144525.
[2] N.B. Kopnin and G.E. Volovik, PRL <u>79</u> (1997) 1377.
[3] T. Okada et al., submitted.

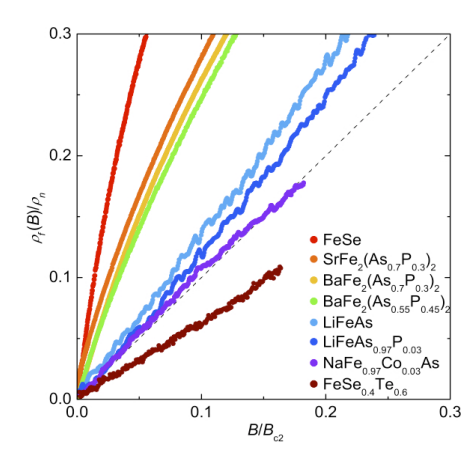


図 1: 鉄系超伝導体の磁東フロー抵抗率の磁場依存性. 縦(横)軸は常伝導抵抗率 ho_n (上部臨界磁場 B_{c2})で規格化してある.

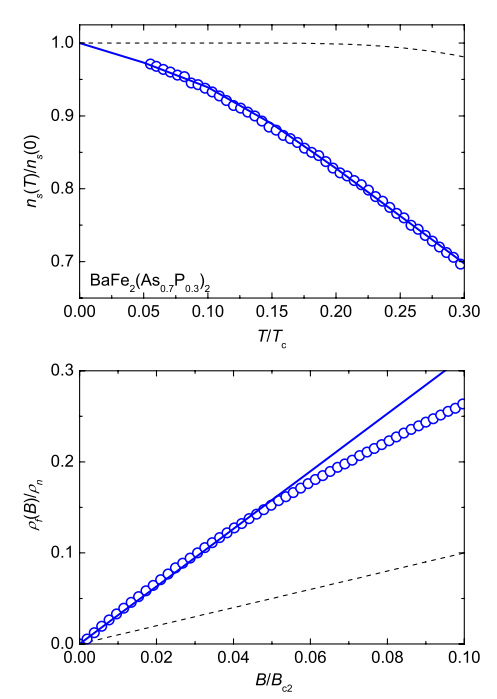


図 2: BaFe₂(As_{1-x}P_x)₂ 単結晶の超流体密度 (上)および磁東フロー抵抗率(下). 破線: BCS 超伝導体で期待される振舞い, 実線: 2バンドモデルでのフィット結果.